FOTO 9021: Carbonataciones en arcilla de forma nodular. Cerro del Montanchego

FOTO 9022: Otro aspecto de las carbonatizaciones en el Cerro del Montanchego

FOTO 9023: Carbonatizaciones en forma planar que al superponerse adquieren un aspecto compacto. Cerro del Montanchego.

FOTO 9024: Carbonataciones en arcilla, de forma planar. Estas estan superpuestas adquiriendo un aspecto compacto. Cerro del Montanchego.

FOTO 9025: Aspecto del contacto entre la "raña", parte inferior de la foto, y depósitos detríticos de edad más moderna. El contacto se localiza donde está situado el martillo, carretera de Carmonita a Alcuescar.

FOTO 9026: Aspecto del contacto entre la "raña", parte inferior de la foto, y depósitos detríticos de edad más moderna. Carretera de Carmonita a Alcuescar.

FOTO 9027: Arenas arcósicas de posible edad Miocena que se encuentran por debajo de materiales tipo "raña" que aparecen en la parte superior de la foto. (C. N-630) km 260-261.

FOTO 9028: Vista del contacto erosivo existente entre la "raña" y las arenas arcósicas de posible edad Miocena (C. N-630 km 260-261).

FOTO 9029: Otro aspecto del contacto erosivo del punto anterior.

FOTO 9030: Pequeña falla normal que afecta a las arenas arcósicas y a la "raña". C. N-630, km. 260-261.

FOTOS 9031 Y 9032: Otras vistas de la falla normal del punto anterior

FOTO 9033: Bloques de rocas metamórficas imbricados. Se sitúan en paleocanales que pertenecen a zonas de ápice de abanicos aluviales. "Raña". Carretera de Carmonita a Alcuescar.

FOTOS 9034 y 9035: Otras vistas de bloques imbricados (punto anterior).

FOTO 9036: Conglomerados de cantos paleozoicos de posible edad Miocena. Ferrocarril Cáceres-Badajoz. km. 25-26.

FOTO 9037: Otro aspecto de los conglomerados del punto anterior

FOTO 9038: Arenas arcósicas que contienen carbonataciones nodulares y planares, estos materiales se encuentran algo plegados y se localizan en el contacto con los materiales paleozoicos que en este punto es mediante falla. Ferrocarril Cáceres-Badajoz. km. 25-26.

FOTO 9039: Otro aspecto de las arenas arcósicas del punto anterior.

FOTO 9040: Amalgamiento de canales "braided" constituido por cantos, pequeños bloques, y arenas. Son de posible edad miocena. Rivera de Lácara, al sur de Cordovilla de Lacara.

FOTO 9041: Vista general de materiales de posible edad miocena. Son cantos y arenas orgonizados en canales. Rivera de Lácara, al sur de Cordovilla de Lácara.

FOTO 9042: Bloques de material paleozoico, en contacto entre sí. Pertenecen a canales situados en el ápice de abanicos aluviales. "Raña". Zona de las Cañameras al sur de la Sierra del Centinela.

FOTOS 9043, 9044 Y 9045: Otros aspectos de los canales de las Cañameras.

FOTO 9046: Conglomerados de cantos paleozoicos imbricados. Raña C.N-630 km. 261.

FOTO 9047: Típico paisaje extremeño forestado por encinas. El relieve lo forman depósitos terciarios. Trinchera del ferrocarril Cáceres-Badajoz, km. 25.

FOTO 9048: Típico paisaje extremeño de dehesas. Se observa la depresión del río Aljucén ordenado por depósitos terciarios. Al fondo los relieves paleozoicos de Sierra Bermeja.

FOTO 9049: Paisaje extremeño de dehesas. Vista de los cerros de Montanchego desde el antiguo camino de Alcuescar a Don Benito. Los relieves corresponden a sedimentos terciarios.

FOTO 9050: Paisaje extremeño de dehesas. Los materiales que se observan son pizarras y cuarcitas paleozoicas. Charca de Valderrey.

FOTO 9051: Otra vista de los alrededores de la Charca de Valderrey.

FOTO 9052: Dehesa extremeña con ganado bravo. Cercanías de Coto Pardon (rivera de Lácara). NO ESTÁ SITUADO EN EL PLANO.





























































FOTO 9538: Dioritas de Aljucén. Detalle de la foliación que afecta a estas rocas y que buza fuertemente al N (a la izquierda en la fotografía). Cª N-630 junto al puente sobre el río Aljucén.



FOTO 9539: Granito porfídico con megacristales de feldespato potásico y cordierita esporádica. Facies de "La Haba". Cª N-630 entre km antiguos 262-263.



FOTO 9540: Detalle de la roca anterior donde se observan nidos irregulares centimétricos de turmalina.



FOTO 9541: Alternancias de pizarras sericíticas, metarenitas y cuarcitas, posiblemente Ordovícico inferior. Se observan abundantes "**kholithus** sp, "load casts" y estructuras sedimentarias tipo "ripple". Puerto de Las Herrerias, Cª N-630. PIG nº 2.



FOTO 9542: Aspecto en afloramiento de la unidad anterior. Las capas de cuarcita blanca son decimétricas a métricas, dominando la alternancia pizarras-metaarenitas. A la izquierda de la foto se observa una falla inversa vergente al S (a la derecha de la foto), de salto escaso (máximo 1 m).



FOTO 9543: Detalle del contacto por falla entre la unidad anterior y los conglomerados del Estefaniense B-C. Destaca la intensa ferruginización con formación de hematites sobre los planos de fractura. Puerto de Las Herrerias, Cª N-630 (El S es a la derecha en la foto). PIG nº 1.



FOTO 9544: Detalle de la ferruginización en los conglomerados carboníferos. Estos tan solo estan afectados por fracturas tardías. Misma localidad que la foto anterior.



FOTO 9546: Cuarcita armoricana. Destaca el aspecto masivo de los estratos y la aparición de los sistemas de diaclasas conjugadas a 60º. El buzamiento de las capas es al S (55º) (a la derecha en la foto). Junto a la Presa del Boquerón. Cordobilla de Lácara.

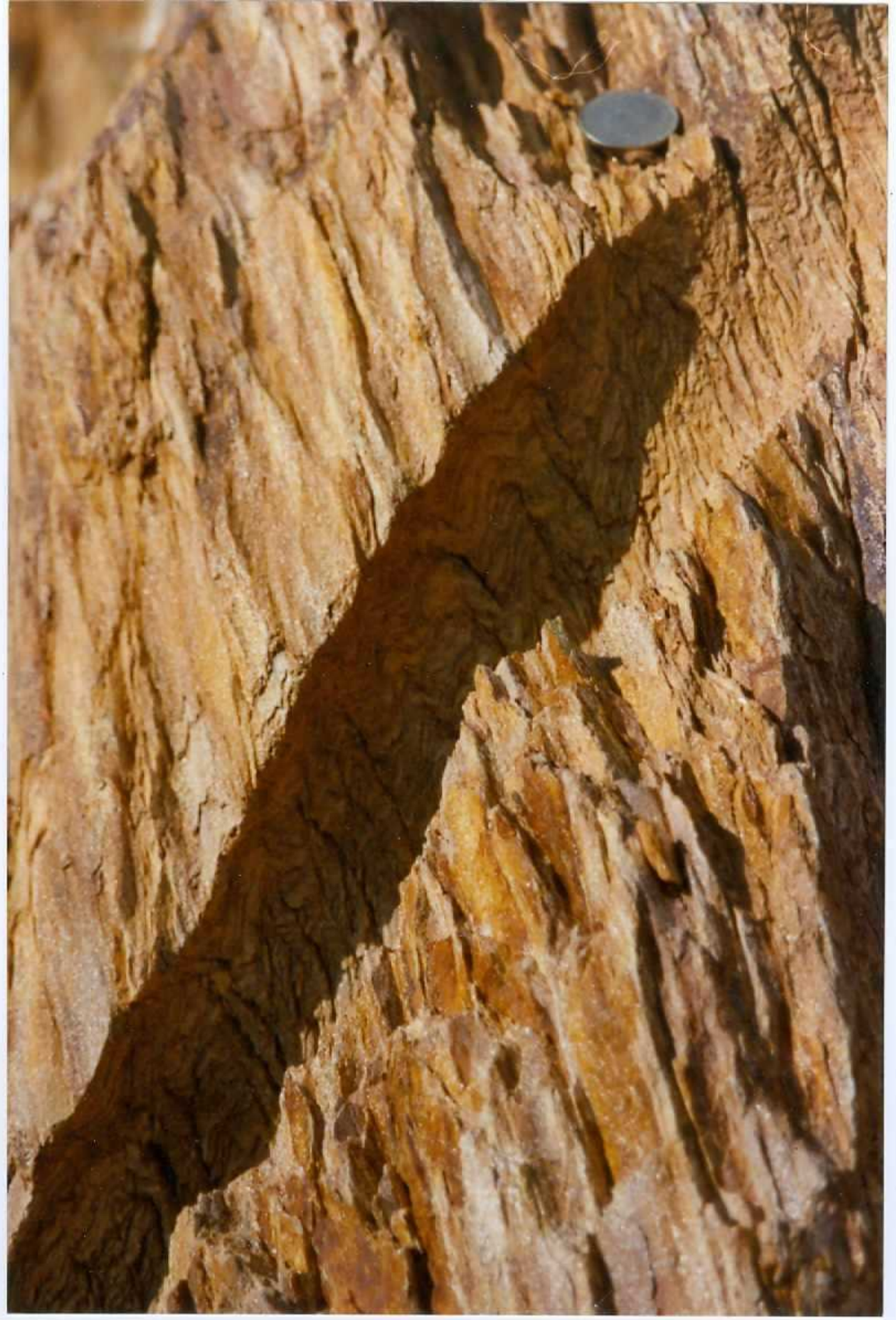


FOTO 9547: Esquistosidad de crenulación espaciada afectando a metaarenitas finamente laminadas y pizarras arenosas. Presa del Boquerón.

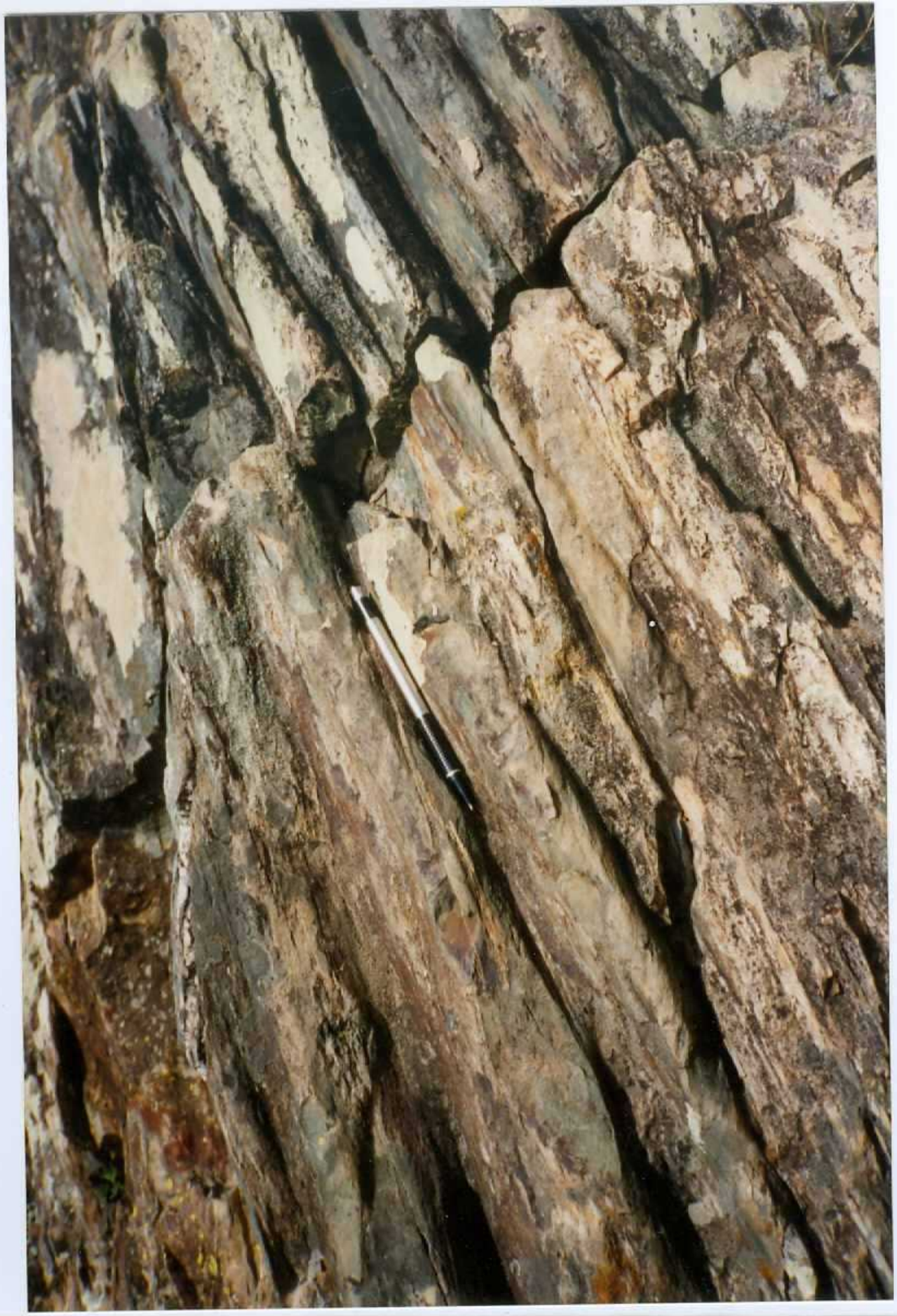


FOTO 9548: Pliegues de tipo "mullion" sobre pizarras arenosas. Se observa una lineación plegada en la parte inferior de la fotografía. Al SW de la Presa del Boquerón.



FOTO 9549: Esquistosidad de crenulación (S_2) cortando a unos 30º a la esquistosidad de primera fase (el lapiz sigue la dirección de la S_2). Camino del Cortijo de Navavaca. Cordobilla de Lácara. PIG. nº 3.



FOTO 9550: Detalle de la L_2 asociada a la esquistosidad de la foto anterior (el lápiz marca su dirección) sobre un plano de S_{2s}.



FOTO 9551: Blastesis generalizada de quiastolita en pizarras ampelíticas. Cª de Carmonita, km. 2,5 aproximadamente.



FOTO 9552: Incipiente "taffonización" en monzogranitos porfídicos con cordierita. Cercanías del Cortijo de El Huevo-Mérida.



FOTO 9553: Grauvacas del carbonífero. Detalle de la estratificación cruzada de bajo ángulo que presenta. Rio Aljucén al S del Molino Bajero.



FOTO 9554: Crestones de cuarcita blanca aislados, posiblemente intercalados en pizarras, rodeados de terrazas. Río Aljucén.

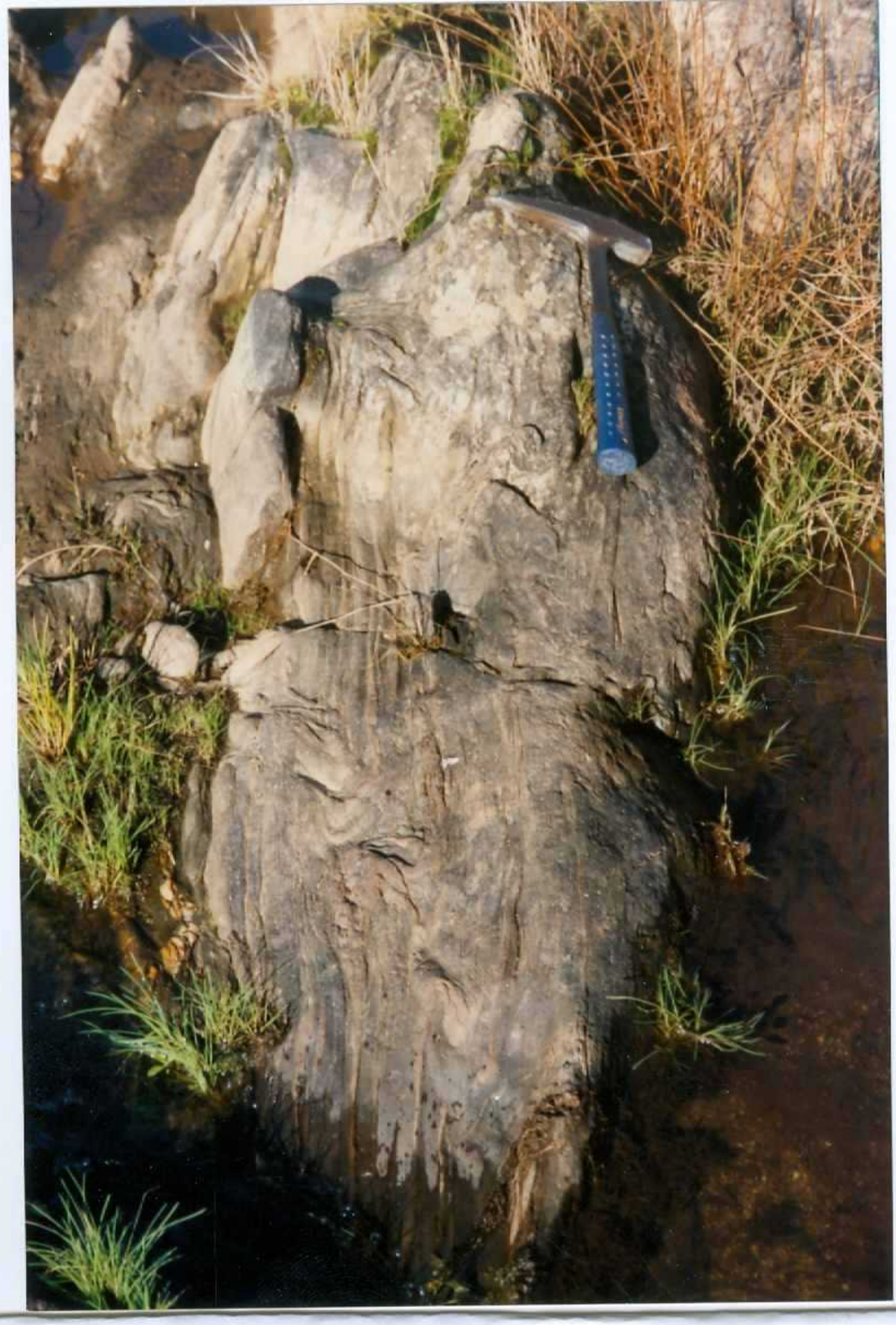


FOTO 9555: Pliegues asimétricos de ejes fuertemente pinchantes al SE (parte baja de la foto) en pizarras negras y metaarenitas. Rio Aljucén, al W de La Navilla.



FOTO 9556: Detalle de relaciones S_o/S_1 en cuarcitas gris obscuro con superficie ferruginosa, alternando con pizarras grises arenosas. Rio Aljucén (El NE es a la derecha de la foto).



FOTO 9557: Nódulo o canto arenoso en areniscas finamente laminadas. Notar el ligero combamiento de la S_o bajo el canto. (La punta del lápiz marca el SW). Junto a la fuente del Margallo. Rio Aljucén.



FOTO 9558: Estructuras sedimentarias (laminación cruzada) o banda de cizalla? en metarenitas. El mango del martillo indica el NE. Rio Aljucén.



FOTO 9559: Vista panorámica de la Serrata de El Moro desde la raña junto a la Cª N-630. La planicie a la izquierda de los relieves la ocupa glacis y los monzogranitos porfídicos con cordierita.



FOTO 9560: Dioritas de Aljucén. Segregados cuarzo-feldespáticos centimétricos a favor de los cuales se ha producido movimiento del bloque superior al N. Cª N-630 junto al antiguo km.266.